

多重 MISR の構成とそのエイリアス確率に関する 二, 三の考察

森井 昌克 † 小野 竜一 † 岩崎 一彦 ‡

† 愛媛大学 工学部 情報工学科

‡ 千葉大学 工学部 情報工学科

あらまし

VLSI の自己テスト法として署名解析法が提案されている。署名解析法では誤り見逃し確率(エイリアス確率)が問題となる。シグネチャ回路として用いられる MISR(Multiple Input Signature Register)については GF(2^m) 上の Reed-Solomon(RS) 符号の 2 元重み分布とそのエイリアス確率との関係が指摘されている。

署名解析法では GF(2^m) 上の原始元, b を非負の整数, 生成多項式を $(x - \alpha^b)(x - \alpha^{b+1}) \cdots (x - \alpha^{b+d-2})$ とした RS 符号を多項式基底 $(1, \alpha, \alpha^2, \dots, \alpha^{m-1})$ により展開した符号に基づく $d-1$ 重 MISR が提案されている。また最近, 2 重化 MISR について多項式基底でない他の基底により展開することによって, 従来に比較してエイリアス確率を低減させ得ることが報告されている。

本稿では 3 重化 MISR に対する展開基底とそのエイリアス確率との関係について考察を与える。

和文キーワード 組み込み自己テスト法, エイリアス確率, MISR, Reed-Solomon 符号, VLSI

On aliasing probabilities for multiple input signature registers

Masakatu MORII† Ryuichi ONO† Kazuhiko IWASAKI‡

† Department of Computer Science, Ehime University
Matsuyama, 790 Japan

‡ Department of Information and Computer Science, Chiba University
Chiba, 260 Japan

Abstract

The aliasing probability is a problem to VLSI built-in self-test(BIST). Recently the relation between the aliasing probability for MISR(Multiple Input Signature Register) and the binary weight distribution of Reed-Solomon(RS) codes has been studied actively.

This paper presents a few comments on the aliasing probability of MISR and the binary weight distribution of RS codes. Especially we give a triple MISR with 8 inputs which has the aliasing probability smaller than others.

英文 key words built-in self-test, aliasing probability, MISR, Reed-Solomon codes, VLSI

1 まえがき

VLSI の組み込み自己テスト法 [1][2] としての署名解析法 [3][4] では疑似ランダム誤りの回路応答である出力系列をシグネチャ回路と呼ばれる回路で圧縮し、正常な回路の圧縮系列（署名）と比較することにより回路の故障を検出する。しかしながら、この検査法では被検査回路に故障があるにも関わらず、故障を見逃す可能性がある。この確率をエイリアス確率と呼ぶ [5]。エイリアス確率が低いという意味で優れた署名解析法の実現手法として符号理論に基づく構成手法が提案されている [6]。特にシグネチャ回路として多入力シフトレジスタ（Multiple Input Shift Register, MISR）を多重化した回路（多重化 MISR）を採用する署名解析法では、コンパクトディスク（CD）、光ディスクあるいは衛星通信等で用いられる Reed-Solomon(RS) 符号との関係が指摘され [8] [9] [10] エイリアス確率の評価法とともに優れたシグネチャ回路の構成を目的として研究が進められている。

多重化 MISR を用いる場合、検査回路の出力中に生起する誤りパターンの仮定として、1 タイムスロットにおける出力 m ビットの各誤りパターンが独立かつ等確率に生起するという立場と、タイムスロットに対して無関係に各ビットが独立かつ等確率に誤りを生起するという 2 者の立場を考えることができる。前者の誤りを見逃す確率をシンボルエイリアス確率、後者をビットエイリアス確率と呼ぶことにする。これらの立場は、符号理論において符号のシンボル誤りを問題にするか、あるいはビット誤りを問題にするかの選択に対応する。岩崎、山口ら [9] は RS 符号に基づいた多重化 MISR を提案し、いくつかの多重化 MISR のビットエイリアス確率を導出している。特に RS 符号の生成多項式において 1 を根として有する RS 符号に対応する 2 重化 MISR がビットエイリアス確率が低いという意味で優れていることを示した。最近、森井、谷川、岩崎ら [14] は RS 符号の 2 元重み分布を導出する際に必要となる展開基底に着目し、従来提案されている 2 重化 MISR よりも優れた回路が存在することを示した。展開基底は多重化 MISR の各シフトレジスタにおける回路構成に対応する。

本稿では 4 入力および 8 入力 3 重化 MISR に対する展開基底の効果について考察する。本稿の結果から必ずしも 1 を根として含む RS 符号に対する 3 重化 MISR が優れていないことを示し、2 重化 MISR の場合と同様、基底の変化によってエイリアス確率のふるまいが異なることを示す。

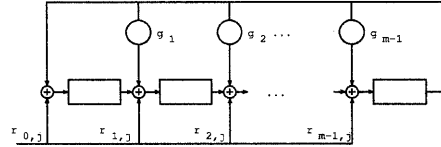


図 1: MISR(multiple-input signature register)

2 MISR による署名解析法

2.1 テスト応答圧縮回路としての MISR

署名解析法では被検査回路にテスト系列としての疑似ランダム系列を入力し、その回路応答系列から故障を検出する。回路応答系列長は、被検査回路の入力ピン数に対して指数関数的に増加するので、LFSR 等で圧縮し、その圧縮系列と正常な回路の圧縮系列を比較することにより故障を検出している。

MISR は回路応答系列を圧縮する多入力 LFSR であり、例えば図 1 のような回路で与えられる。図 1 の回路は第 j スロットでの入力ビット系列

$$(r_{0,j}, r_{1,j}, \dots, r_{m-1,j})$$

を $GF(2^m)$ 上の元

$$\beta_j = r_{0,j} + r_{1,j}\alpha + r_{2,j}\alpha^2 + \dots + r_{m-1,j}\alpha^{m-1} \quad (1)$$

に対応させたとき、 $GF(2^m)$ 上の多項式を

$$\beta(x) = \beta_0 x^{n-1} + \beta_1 x^{n-2} + \dots + \beta_{n-2} x + \beta_{n-1} \quad (2)$$

一次多項式

$$x - \alpha \quad (3)$$

で除した剰余を求める回路となっている。ただし、ここで n はテスト長であり、 α は

$$\alpha^m = g_{m-1}\alpha^{m-1} + g_{m-2}\alpha^{m-2} + \dots + g_1\alpha + 1 \quad (4)$$

を満たす $GF(2^m)$ 上の元、さらに $g_i, i = 1, 2, \dots, m-1 \in GF(2^m)$ とする。

2.2 多重化 MISR と RS 符号の 2 元重み分布

署名解析法では、疑似ランダム系列の回路応答である出力系列を圧縮し、その圧縮系列と正常な回路の圧縮系列（署名）を比較することにより回路故障を検出している。したがって、実際には回路に故障があるにも関わらず、故障を見逃す確率（エイリアス確率）が問題と

なる。このエイリアスを低減させる一つの手法として MISR を多重化する方法がある。

一般的には $GF(2^m)$ 上の RS 符号を応用することにより、多重化 MISR を構成することができる。すなわち、 α を $GF(2^m)$ の原始元、 b を非負の整数、生成多項式 $g(x)$ を

$$(x - \alpha^b)(x - \alpha^{b+1}) \cdots (x - \alpha^{b+d-2}) \quad (5)$$

として作られるシンボル設計距離 d の RS 符号に基づく $d-1$ 重化 MISR である。この多重化 MISR の構成は、式(5)の各一次式に対するテスト応答系列の剰余を求める回路を多重化したものとなっている。

被検査回路の出力で生起される誤りが出力端子（ビット出力）ごとに独立である（いわゆる 2 元対称通信路）と仮定した場合、式(5)で与えられる RS 符号に基づく $d-1$ 重化 MISR のエイリアス確率（ビットエイリアス確率）は、この RS 符号を 2 元展開した 2 元線形符号の誤り見逃し確率に相当することが知られている。したがって、この RS 符号の 2 元重み分布を求ることにより $d-1$ 重化 MISR のビットエイリアス確率を陽に求めることができる。

2.3 2 重化 MISR のエイリアス確率

岩崎、山口らは 8 入力 2 重化 MISR のエイリアス確率を導出し、RS 符号の生成多項式として 1 を有する場合に対応する 2 重化 MISR が、低いビットエイリアス確率を有するという意味で優れていることを示した。森井、谷川、岩崎らは RS 符号の 2 元重みを求める際に必要となる展開基底について着目し、多項式基底以外の基底を採用することにより、従来より優れた 2 重化 MISR を導出している。例えば $GF(2^4)$ 上の RS 符号に基づくテスト長（シンボル長）15 の 2 重化 MISR のビットエイリアス確率を導出している。すなわち生成多項式

$$(x - \alpha^b)(x - \alpha^{b+1}), b = 0, 1, 2, \dots, 14.$$

をもつ RS 符号に対して、すべての基底に関して 2 元展開した RS 符号の 2 元重み分布を求め、その重み分布から 2 重化 MISR のビットエイリアス確率を導出した。図 2 はそれぞれ

- (a) 生成多項式として $(x - \alpha)(x - \alpha^2)$ を採用し、基底 $(1, \alpha^3, \alpha^6, \alpha^9)$ により 2 元展開された RS 符号に基づく 2 重化 MISR のエイリアス確率
- (b) 生成多項式として $(x - 1)(x - \alpha)$ を採用し、多項式基底 $(1, \alpha, \alpha^2, \alpha^3)$ により 2 元展開された RS 符号に基づく 2 重化 MISR のエイリアス確率

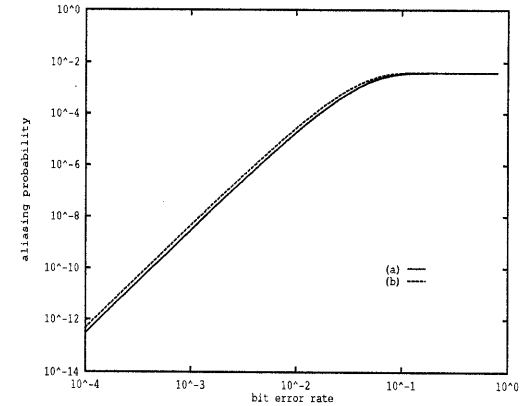


図 2: 4 入力 2 重化 MISR のビットエイリアス確率

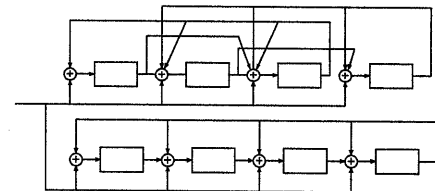


図 3: ビットエイリアス確率が最も低い RS 符号に基づく 4 入力 2 重化 MISR

を与えている。すなわち

- (a) ビットエイリアス確率が最も低い RS 符号に基づく 2 重化 MISR
- (b) ビットエイリアス確率が最も低い、多項式基底で 2 元展開された RS 符号に基づく 2 重化 MISR

となっている。

図 3 は図 2において与えたビットエイリアス確率が最も低い 2 重化 MISR の回路構成を示したものである。

3 3 重化 MISR のエイリアス確率

3.1 4 入力 3 重化 MISR のエイリアス確率

原始多項式 $\alpha^4 + \alpha + 1 = 0$ により導かれた $GF(2^4)$ 上の RS 符号に基づくテスト長（シンボル長）11 の 3 重化 MISR に対するビットエイリアス確率を導出する。図 4 はそれぞれ

- (a) 生成多項式として $(x - 1)(x - \alpha)(x - \alpha^2)$ を採用し、多項式基底 $(1, \alpha, \alpha^2, \alpha^3)$ により 2 元展開された RS 符号に基づく 3 重化 MISR のエイリアス確率

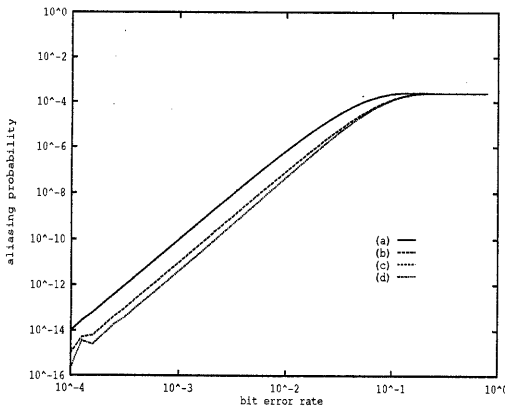


図 4: 4 入力 3 重化 MISR のビットエイリアス確率 (1)

- (b) 生成多項式として $(x - \alpha^4)(x - \alpha^5)(x - \alpha^6)$ を採用し、多項式基底 $(1, \alpha, \alpha^2, \alpha^3)$ により 2 元展開された RS 符号に基づく 3 重化 MISR のエイリアス確率
- (c) 生成多項式として $(x - 1)(x - \alpha)(x - \alpha^2)$ を採用し、基底 $(1, \alpha, \alpha^3, \alpha^{10})$ により 2 元展開された RS 符号に基づく 3 重化 MISR のエイリアス確率
- (d) 生成多項式として $(x - \alpha^5)(x - \alpha^6)(x - \alpha^7)$ を採用し、基底 $(1, \alpha, \alpha^9, \alpha^{13})$ により 2 元展開された RS 符号に基づく 3 重化 MISR のエイリアス確率

を与えている。

我々は、3 重化 MISR に対応する符号長 11 シンボルである $GF(2^4)$ 上の RS 符号についてすべての生成多項式、およびすべての基底についてビットエイリアス確率を導出している。図 4 ではそれぞれ

- (a) 展開基底を多項式基底とし、すべての生成多項式を考慮した場合のビットエイリアス確率が最も高い 3 重化 MISR
 - (b) 展開基底を多項式基底とし、すべての生成多項式を考慮した場合のビットエイリアス確率が最も低い 3 重化 MISR
 - (c) すべての生成多項式および展開基底を考慮した場合のビットエイリアス確率が最も高い 3 重化 MISR
 - (d) すべての生成多項式および展開基底を考慮した場合のビットエイリアス確率が最も低い 3 重化 MISR
- となっている。なお、図 4においては (a) と (c) はほぼ同一の値を与えている。

従来、多項式基底により展開された 2 元 RS 符号に基づく MISR について考察が行なわれてきた。しかしながら、図 4 に与えるように基底を変えることによってビットエイリアス確率が低いという意味でより優れた 3 重化 MISR を構成することができる。また図 4(a) で与えられる多項式基底で 2 元展開された RS 符号に基づく 3 重化 MISR が最悪な 3 重化 MISR(図 4(c)) のビットエイリアス確率にはほぼ等しいことに注意されたい。

図 4 はビット誤り確率が 0.5 から極めて小さい値についてエイリアス確率を求めたものである。逆にビット誤り確率が 0.5 から極めて 1 に近い値をとる場合を考えることができる。図 5 はビット誤り確率が 1 に近い場合に対する結果を与えていている。すなわち

- (a) 生成多項式として $(x - \alpha^4)(x - \alpha^5)(x - \alpha^6)$ を採用し、多項式基底 $(1, \alpha, \alpha^2, \alpha^3)$ により 2 元展開された RS 符号に基づく 3 重化 MISR のエイリアス確率
- (b) 生成多項式として $(x - 1)(x - \alpha)(x - \alpha^2)$ を採用し、多項式基底 $(1, \alpha, \alpha^2, \alpha^3)$ により 2 元展開された RS 符号に基づく 3 重化 MISR のエイリアス確率
- (c) 生成多項式として $(x - \alpha^6)(x - \alpha^7)(x - \alpha^8)$ を採用し、基底 $(1, \alpha, \alpha^6, \alpha^9)$ により 2 元展開された RS 符号に基づく 3 重化 MISR のエイリアス確率
- (d) 生成多項式として $(x - \alpha)(x - \alpha^2)(x - \alpha^3)$ を採用し、基底 $(1, \alpha^3, \alpha^6, \alpha^9)$ により 2 元展開された RS 符号に基づく 3 重化 MISR のエイリアス確率

を与えている。各 MISR の意味は図 4 と同様である。すなわち、(d) はすべての生成多項式および展開基底を考慮した場合、ビット誤り確率が 0.5 から 0.9999 の範囲において、ビットエイリアス確率が最も低い 4 入力 3 重化 MISR である。

3.2 8 入力 3 重化 MISR のエイリアス確率

原始多項式 $\alpha^8 + \alpha^4 + \alpha^3 + \alpha^2 + 1 = 0$ により導かれた $GF(2^8)$ 上の RS 符号に基づくテスト長(シンボル長)200 の 3 重化 MISR に対するビットエイリアス確率を導出する。図 6 はそれぞれ

- (a) 生成多項式として $(x - 1)(x - \alpha)(x - \alpha^2)$ を採用し、多項式基底により 2 元展開された RS 符号に基づく 3 重化 MISR のエイリアス確率
- (b) 生成多項式として $(x - \alpha)(x - \alpha^2)(x - \alpha^3)$ を採用し、多項式基底により 2 元展開された RS 符号に基づく 3 重化 MISR のエイリアス確率

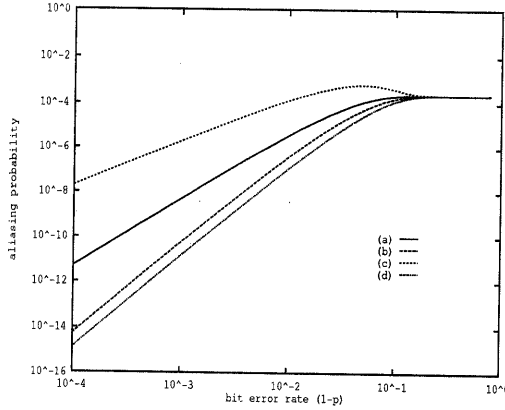


図 5: 4 入力 3 重化 MISR のビットエイリアス確率 (2)

- (c) 生成多項式として $(x - \alpha^2)(x - \alpha^3)(x - \alpha^4)$ を採用し、多項式基底により 2 元展開された RS 符号に基づく 3 重化 MISR のエイリアス確率
- (d) 生成多項式として $(x - \alpha^3)(x - \alpha^4)(x - \alpha^5)$ を採用し、多項式基底により 2 元展開された RS 符号に基づく 3 重化 MISR のエイリアス確率

を与えていた。さらに図 7 は図 6 と同様、8 入力 3 重化 MISR についてビット誤り確率が極めて 1 に近い場合のエイリアス確率のふるまいを与えていた。

基底を多項式基底に固定した場合の RS 符号に対応する 8 入力 2 重化 MISR のエイリアス確率に関して、文献 [5][13] において生成多項式が 1 を根として含み、ビット誤り確率が小さい値の場合、他の MISR に比べて優れ、逆にビット誤り確率が 1 に近い値の場合、劣ることが報告されている。8 入力 3 重化 MISR においては、ビット誤り確率の値が 1 に近い場合も含めて、そのエイリアス確率が劣悪であることが示され、極めて 1 に近い 0.9999 程度になってから、他の MISR に比較して優れた値を示すという興味深い結果が得られた。

図 8 では生成多項式を $(x - \alpha^3)(x - \alpha^4)(x - \alpha^5)$ に固定し、基底を変化させた場合の RS 符号に対応する 8 入力 3 重化 MISR のエイリアス確率のふるまいを与えていた。具体的には

- (a) 多項式基底 $(1, \alpha, \alpha^2, \alpha^3, \alpha^4, \alpha^5, \alpha^6, \alpha^7)$ により 2 元展開された RS 符号に基づく 3 重化 MISR
- (b) 基底 $(\alpha^{53}, \alpha^{77}, \alpha^{83}, \alpha^{106}, \alpha^{154}, \alpha^{166}, \alpha^{169}, \alpha^{212})$ により 2 元展開された RS 符号に基づく 3 重化 MISR
- (c) 基底 $(\alpha^{15}, \alpha^{30}, \alpha^{60}, \alpha^{120}, \alpha^{135}, \alpha^{195}, \alpha^{225}, \alpha^{240})$ により 2 元展開された RS 符号に基づく 3 重化 MISR

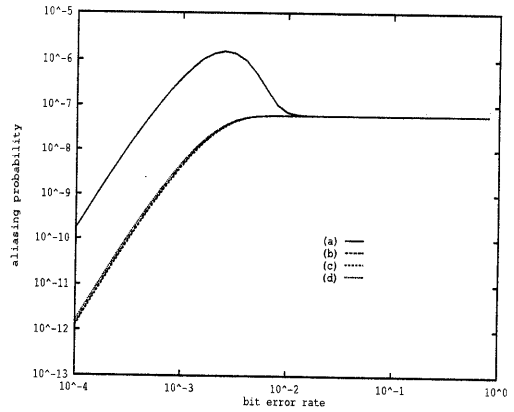


図 6: 8 入力 3 重化 MISR のビットエイリアス確率 (1)

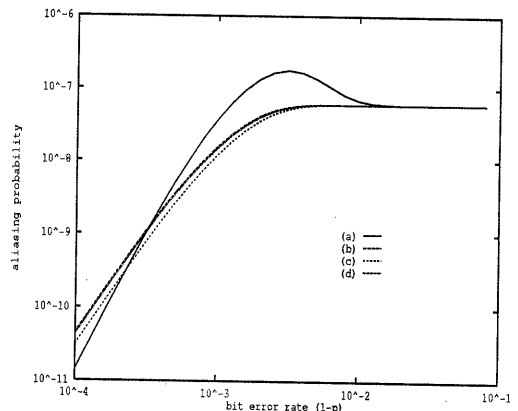


図 7: 8 入力 3 重化 MISR のビットエイリアス確率 (2)

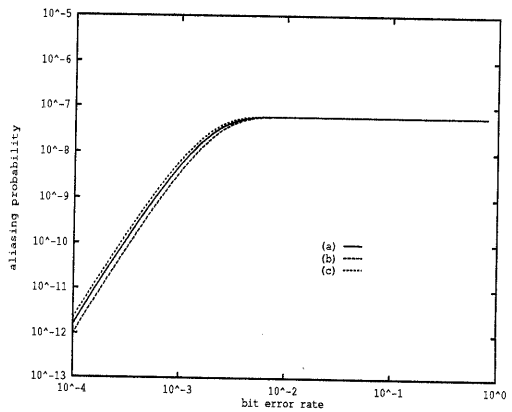


図 8: 8 入力 3 重化 MISR のビットエイリアス確率 (3)

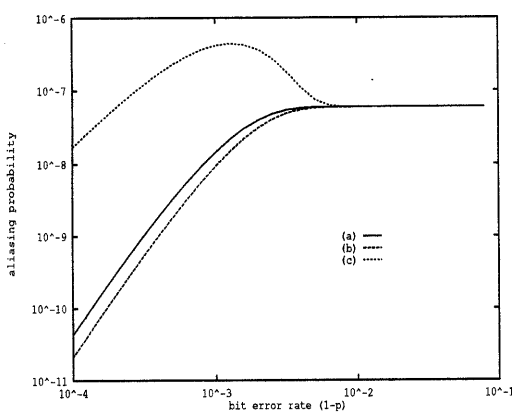


図 9: 8 入力 3 重化 MISR のビットエイリアス確率 (4)

を与えている。GF(2) 上の GF(2^8) の基底は多数存在し、また 8 入力 3 重化 MISR に対応する RS 符号の重み分布を求める計算量が比較的大きいことからすべての基底に対してそのエイリアス確率を求めるることは困難である。図 8 の結果はランダムに生成した 100 個の基底に対してそのエイリアス確率を導出し、エイリアス確率が低いという意味で優れた MISR とエイリアス確率が高いという意味で劣った MISR を与えている。またビット誤り確率が極めて 1 に近い場合のエイリアス確率のふるまいを図 9 に与える。図 9 はそれぞれ

- (a) 多項式基底 $(1, \alpha, \alpha^2, \alpha^3, \alpha^4, \alpha^5, \alpha^6, \alpha^7)$ により 2 元展開された RS 符号に基づく 3 重化 MISR
- (b) 基底 $(\alpha^{39}, \alpha^{86}, \alpha^{112}, \alpha^{125}, \alpha^{169}, \alpha^{191}, \alpha^{194}, \alpha^{241})$ により 2 元展開された RS 符号に基づく 3 重化 MISR
- (c) 基底 $(\alpha^{19}, \alpha^{28}, \alpha^{53}, \alpha^{134}, \alpha^{159}, \alpha^{200}, \alpha^{222}, \alpha^{227})$ により 2 元展開された RS 符号に基づく 3 重化 MISR

を与えている。

本稿で与える 8 入力 3 重化 MISR のエイリアス確率のふるまいから、8 入力 2 重化 MISR のエイリアス確率同様、生成多項式が同一であっても基底を変えることにより、そのエイリアス確率のふるまいが変化することを確認した。またビット誤り確率が極めて 1 に近い場合、8 入力 3 重化 MISR のエイリアス確率は基底によってそのふるまいが極めて特異なふるまいをすることが認められた。すなわち、生成多項式が同一であっても、基底が異なることによってそのエイリアス確率において 1000 倍以上の差となり得ることが示された。

4 むすび

本稿では回路の出力において生じる誤りが出力端子ごとに独立であると仮定し、シグネチャ回路として 3 重化 MISR を用いた場合のビットエイリアス確率について考察を与えた。2 重化 MISR と同様、3 重化 MISR においても異なる基底により 2 元展開することによりビットエイリアス確率が異なり、また基底を多項式基底に固定し生成多項式が 1 を根として含む場合のエイリアス確率が他に比較して特異なふるまいを与えることを指摘した。

参考文献

- [1] P.K.Lala 著, 当麻善弘監訳, "フォールト・トレランス入門", オーム社 (1985)
- [2] 樹下行三, "VLSI テスト容易化設計技術の研究動向", 情報処理学会誌, Vol.30, No.12, pp.1451-1460 (1989-12)
- [3] J.E.Smith, "Measures of effectiveness of fault signature analysis", IEEE Trans.Computer., vol.C-29, pp.510-514 (1980-06)
- [4] 岩垂好裕, 情報システムの信頼性, 電子通信学会 (1989-02)
- [5] 岩崎一彦, "誤り訂正符号の VLSI 自己テストへの応用", ワークショップ「符号理論とその応用」資料 (1991-05)
- [6] 岩崎一彦, 西向井忠彦, "シグネチャ検査法のエイリアス確率と符号の重み分布", 信学論 (D), J71-D, 9, pp.1797-1803 (1988-09)
- [7] 藤原融, 香川平, 嵩忠雄, "シグネチャ検査法における故障見逃し確率の近似", 信学論 (A), J73-A, no.10, pp.1669-1677 (1990-10)
- [8] D.K.Pradhan, S.K.Gupta and M.G.Karpovsky, "Aliasing probability for multiple input signature analyzer", IEEE Trans.on Computer, 39, 4, pp.586-591 (1990-04)
- [9] 岩崎一彦, 山口昇, "リードソロモン符号の 2 元重み分布とその BIST への応用", 信学技法, R88-29, pp.35-40 (1988-11)
- [10] M.Morii and K.Iwasaki, "A Note on Aliasing Probability for Multiple Input Signature Analyzer", IEEE Trans.on Computer, 42, 9, pp.1152 (1993-09)
- [11] 岩崎一彦, "距離 2 の最大距離分離符号の 2 元重みとその VLSI 自己テストへの応用", 信学論 (A), J73-A, no.11, pp.1851-1857 (1990-09)
- [12] 森井昌克, 常盤欣一朗, 笠原正雄, "Reed-Solomon 符号の 2 元重み分布に関する二、三の考察", 信学技報, IT86-118, pp.21-26, (1987-08)
- [13] K.Iwasaki and N.Yamaguchi, "Design of signature circuits based on weight distribution of error-correcting codes", Int'l Test Conf., pp.779-785 (1990-09)
- [14] 森井昌克, 谷川晃一, 岩崎一彦, "多重入力シグネチャレジスタによる VLSI 自己テストに関する一検討", 情報処理学会研究報告, 91-DA-59, pp.1-8 (1991-10)
- [15] S.Feng, T.Fujiwara, T.Kasami and K.Iwasaki, "On the Maximum Value of Aliasing Probabilities for Single Input Signature Registers", VTS'93, pp.267-274 (1993)